

## НЕСТАЦИОНАРНЫЙ РАДИАЦИОННО-КОНДУКТИВНЫЙ ПЕРЕНОС ТЕПЛА В ПЛОСКОМ СЛОЕ СЕРОЙ ПОГЛОЩАЮЩЕЙ СРЕДЫ

А. Л. Бурка, Н. А. Рубцов

(Новосибирск)

Рассматривается кинетика прогрева плоского слоя серой поглощающей среды за счет радиационно-кондуктивного переноса тепла.

Нестационарное уравнение энергии сводится с помощью функции Грина к нелинейному интегральному уравнению, которое решается численно методом Ньютона. Результаты решения представлены в виде температурных полей в слое применительно к различным значениям определяющих параметров (оптическая толщина, критерий радиационно-кондуктивного теплообмена, критерий теплообмена на границах).

Процесс нагрева полупрозрачных неподвижных сред обусловлен двумя изменяющимися во времени механизмами переноса тепла: молекулярной теплопроводностью и тепловым излучением.

Для широкого класса умеренных и быстропротекающих процессов перенос тепла излучением слабо зависит от времени. В связи с этим в уравнении энергии радиационного теплообмена членом, выражающим скорость изменения объемной плотности радиационной энергии, в силу его малости можно пренебречь. С учетом этого ограничения нестационарное уравнение энергии радиационно-кондуктивного теплообмена записывается в следующем виде:

$$\operatorname{div}(\lambda \operatorname{grad} T) - \operatorname{div} E = c\rho \frac{\partial T}{\partial t} \quad (1)$$

Здесь  $E$  — вектор потока излучения. Остальные обозначения общеизвестны.

Постановки задач, использующие уравнение энергии (1), вытекают из практических потребностей современной технической оптики, связанных с выяснением кинетики прогрева (охлаждения) полупрозрачных теплопроводных тел (стекломасс, кристаллов и т. п.) за счет тепловой радиации [1-3]. В то же время строгие решения такого рода задач практически отсутствуют.

В данной работе в одномерном случае численно решается краевая задача для уравнения энергии (1), когда  $\operatorname{div} E$  имеет два представления — интегральное и приближение радиационной теплопроводности.

Интегральное представление для  $\operatorname{div} E$  [4] может быть записано в следующем виде:

$$\frac{d\Phi}{d\xi} = 2h \left[ 2\theta^4(\xi, \tau) - W_{1,h}(\xi) - \int_0^1 W_{z,h}(\xi, z) \theta^4(z, \tau) dz \right] \quad (2)$$

$$W_{1,h}(\xi) = \alpha [(a_1\theta_1^4 + 2a_2r_1\theta_2^4 K_3(h)) K_2(q) + (a_2\theta_2^4 + 2a_1r_2\theta_1^4 K_3(h)) K_2(h-q)]$$

$$W_{z,h}(\xi, z) = h \{ K_1 |q-p| + 2z [r_1 (K_2(p) + 2r_2 K_3(h) K_2(h-p)) K_2(q) + r_2 (K_2(h-p) + 2r_1 K_3(h) K_2(p) K_2(h-q))] \}$$

$$\alpha = \frac{1}{1 - 4r_1r_2K_3^2(h)}, \quad K_j(\xi) = \int_0^1 v^{j-2} \exp \frac{q}{v} dv, \quad p = hz, \quad q = h\xi$$

В приближении радиационной теплопроводности  $\operatorname{div} E$  имеет вид

$$\frac{d\Phi}{d\xi^2} = - \frac{d}{d\xi} \left( \frac{4}{3h} \theta^3 \frac{d\theta}{d\xi} \right) \quad (3)$$

$$\left( \Phi = \frac{E}{\sigma_0 n^2 T_*^4}, \quad \theta = \frac{T}{T_*}, \quad h = \kappa \delta, \quad \theta_i = \left( \frac{E_i^*}{\sigma_0 n^2 T_*^4} \right)^{1/4} \right)$$

Здесь  $\theta$ ,  $T_*$ ,  $\sigma_0$ ,  $\kappa$ ,  $\theta_i$ ,  $E_i^*$ ,  $a_i$ ,  $r_i$ ,  $k_j$ ,  $h$ ,  $\xi$ ,  $\tau$  — соответственно искомая безразмерная температура среды, характерная температура среды, постоянная Стефана — Больцмана, коэффициент поглощения излучения, эквивалентные значения температуры границ, полусферические плотности потоков излучения, падающего на соответствующие поверхности слоя, поглощательные и отражательные способности соответствующих поверхностей слоя, экспоненциальные интегралы, оптическая толщина слоя, безразмерные координата и время ( $i = 1, 2; j = 1, 2, 3$ ). Физические и оптические свойства среды предполагаются независимыми от температуры ( $n = 1$ ).

Математическая формулировка краевой задачи для одномерного нестационарного уравнения энергии в случае теплопроводной среды с учетом (3) записывается в следующей безразмерной форме:

$$\frac{\partial^2 \theta}{\partial \xi^2} - S \frac{\partial \theta}{\partial \xi} = \frac{\partial \theta}{\partial \tau}, \quad 0 \leq \xi \leq 1, \quad \tau > 0 \quad (4)$$

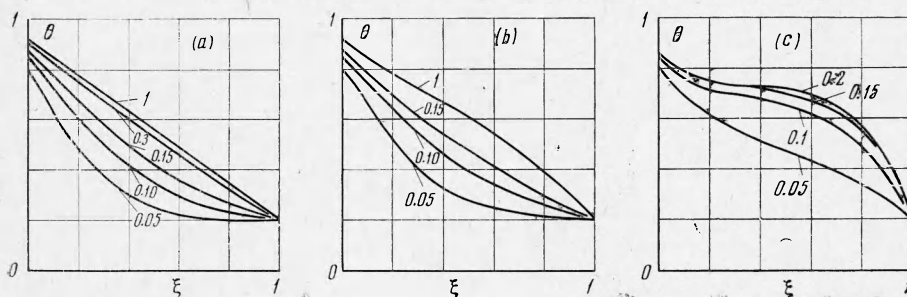
$$\alpha_1 \frac{\partial \theta}{\partial \xi} - \beta_1 (\theta - v_1) = 0, \quad \xi = 0, \quad \tau > 0 \quad (5)$$

$$\alpha_2 \frac{\partial \theta}{\partial \xi} + \beta_2 (\theta - v_2) = 0, \quad \xi = 1, \quad \tau > 0 \quad (6)$$

$$\theta(\xi, 0) = \theta_0, \quad 0 \leq \xi \leq 1 \quad (7)$$

$$\left( S = \frac{c_0 T_*^3}{\lambda} \delta, \quad \tau = \frac{at}{\delta^2}, \quad \frac{\beta_i}{\alpha_i} = \frac{\alpha_i \delta}{\lambda} = B \right)$$

Здесь  $v_i$  — внешние температуры среды,  $\theta_0$  — начальная температура слоя,  $S$  — критерий Старка,  $\alpha_i, \beta_i$  — некоторые положительные постоянные, одновременно не обращающиеся в нуль,  $B$  — критерий Био ( $i = 1, 2$ ).



Фиг. 1

Рассмотрим прогрев (охлаждение) плоского слоя серой теплопроводной среды, подвергнутой внешнему воздействию диффузно излучающих, а также конвективных потоков тепла. При этом будем предполагать, что темп прогрева и соответствующие значения температурных перепадов не настолько велики, чтобы следовало вводить зависимость коэффициентов поглощения излучения  $\kappa$ , а также теплопроводности  $\lambda$  от температуры.

В качестве определяющей температуры принимаем значение температуры внешнего, диффузно излучающего, источника.

Согласно (2),  $d\Phi / d\xi$  представляет собой нелинейное относительно  $\theta$  интегральное выражение, поэтому уравнение (4) становится нелинейным интегро-дифференциальным. Это обстоятельство не позволяет получить решение краевой задачи (4) — (7) в аналитически замкнутом виде. С помощью функции Грина сведем краевую задачу (4) — (7) к функциональному уравнению (к которому, как будет показано ниже, удобно применить итерационные методы для его численной реализации)

$$\theta(\xi, \tau) = \frac{1}{\Delta} \{ \beta_1 v_1 [\alpha_2 \operatorname{ch}(1 - \xi) + \beta_2 \operatorname{sh}(1 - \xi)] + \beta_2 v_2 [\alpha_1 \operatorname{ch} \xi + \beta_1 \operatorname{sh} \xi] \} + \int_0^1 G(\xi, z) F(\theta, z, \tau) dz \quad (8)$$

Здесь

$$G(\xi, z) = \begin{cases} (\alpha_1 \operatorname{ch} z + \beta_1 \operatorname{sh} z) [\alpha_2 \operatorname{ch}(1 - \xi) + \beta_2 \operatorname{sh}(1 - \xi)] / \Delta, & z \leq \xi \\ (\alpha_1 \operatorname{ch} \xi + \beta_1 \operatorname{sh} \xi) [\alpha_2 \operatorname{ch}(1 - z) + \beta_2 \operatorname{sh}(1 - z)] / \Delta, & z > \xi \end{cases}$$

$$\Delta = - [(\alpha_1 \beta_2 + \alpha_2 \beta_1) \operatorname{ch} 1 + (\alpha_1 \beta_2 + \beta_1 \beta_2) \operatorname{sh} 1]$$

Для численного решения уравнения (8) его арифметизация проводится в следующей последовательности. Производная по времени аппроксимируется конечно-разностным оператором. Затем для каждого момента времени  $\tau$  интеграл аппроксимируется квадратурной формулой Гаусса. Тем самым уравнение (8) сводится к системе нелинейных алгебраических уравнений. К такой системе, для ее численного решения, применяется итерационный метод Ньютона [5].

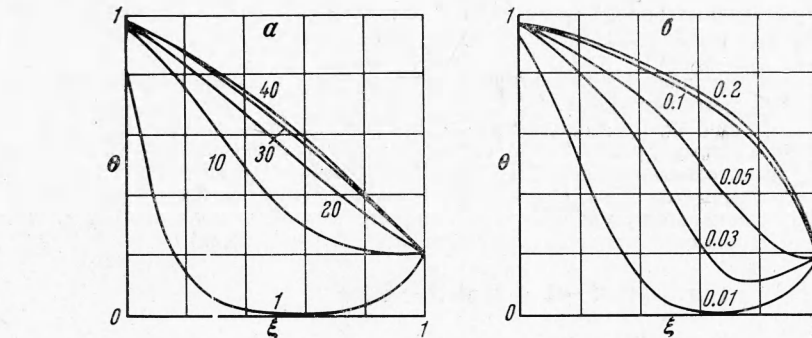
Результаты решения, представленные на фиг. 1—3, отображают кинетику прогрева серой теплопроводной среды, когда одна из поверхностей слоя ( $\xi = 0$ ) обогревается конвективным потоком с температурой внешней среды  $v_1 = 1, B_1 = 10, \theta_1 = 1$ , а другая поверхность слоя ( $\xi = 1$ ) поддерживается при температуре  $v_2 = 0.2$  ( $a_1 = 0.2, a_2 = 0.8, r_1 = 0.8, r_2 = 0.2$ ). На фиг. 1, а при  $\theta_0 = 0.2, S = 0.25, h = 1$  для различных значений времени  $\tau$  представлено температурное распределение в слое.

Характерно, что при выходе на стационарный режим ( $\tau = 1$ ) температурная кривая имеет линейный характер, как и в случае чистой теплопроводности. Это обстоятельство объясняется тем, что при  $S = 0.25$  доля радиационного переноса тепла еще незначительна.

На фиг. 1, б представлена картина температурного поля при тех же условиях, что и на фиг. 1, а, с той лишь разницей, что  $S = 2.5$ . Как видно из графика, при переходе к стационарному режиму температурные кривые меняют свой характер, приобретая выпуклую форму. Это обстоятельство указывает на более интенсивный характер нагрева за счет радиационной составляющей в суммарном переносе тепла.

На фиг. 1, в при  $S = 25.0$  ( $\theta_0 = 0, v_2 = 0$ ) наблюдается явно выраженный характер деформирования температурных профилей по сравнению с предыдущими. Этот факт обусловлен преобладающей ролью излучения по сравнению с молекулярным переносом тепла. По мере увеличения доли радиационной составляющей в общем переносе тепла время выхода системы на стационарный режим сокращается. Особенно заметно это проявляется в области границы, примыкающей к источнику нагрева. При снижении интенсивности подвода тепла снижается не только общий уровень температур, но также и

температура (фиг. 2, где  $B_1 = 5$  вместо использованного ранее  $B_1 = 10$ ). Следует сказать несколько слов о характере сходимости итерационного процесса, который использовался при решении уравнения (8). Процесс быстро сходится при  $0 \leq h \leq h_{max}, S \leq 1$ . Начиная с некоторого значения  $h \geq h_{max}$  и  $S > 1$ , сходимость процесса резко ухудшается. При этом температурные профили, начиная с некоторого момента времени  $\tau$ , становятся неустойчивыми. Устранение этих особенностей связано с увеличением числа гауссовых точек, что влечет за собой увеличение порядка системы уравнений и, как следствие, резкое увеличение затрачиваемого машинного времени.



Фиг. 3

Если оптическая толщина слоя достаточно велика, то уравнение энергии (1) можно записать с учетом приближенного представления (3) для вектора потока излучения

$$\frac{\partial^2 \theta}{\partial \xi^2} + \frac{\partial}{\partial \xi} \left( \frac{16}{3h} S \theta^3 \frac{\partial \theta}{\partial \xi} \right) = \frac{\partial \theta}{\partial \tau}, \quad 0 \leq \xi \leq 1, \quad \tau > 0 \quad (9)$$

Практический интерес представляет решение уравнения (9) со следующими граничными условиями:

$$\frac{\partial \theta}{\partial \xi} = S [\theta^4(\xi, \tau) - 1], \quad \xi = 0 \quad (10)$$

$$\theta(\xi, \tau) = \theta_1, \quad \xi = 1; \quad \theta(\xi, \tau) = \theta_0, \quad \tau = 0 \quad (1')$$

Краевая задача (10), (11) сводится с помощью функции Грина к функциональному уравнению

$$F(\theta) = 0 \quad (12)$$

Здесь

$$F(\theta) = [\theta_1 - \theta(\xi, \tau) + \int_0^1 G(\xi, z) \frac{\partial \theta}{\partial \tau} dz] + S \left\{ (1 - \xi) [1 - \theta^4(0, \tau)] \times \right. \\ \left. \times \left[ 1 + \frac{16}{3h} S \theta^3(0, \tau) \right] + \frac{4}{3h} [\theta_1^4 - \theta^4(\xi, \tau)] \right\}, \quad G(\xi, z) = \begin{cases} (\xi - 1), & z \leq \xi \\ (z - 1), & z \geq \xi \end{cases}$$

Функциональное уравнение (12) содержит две неизвестные функции  $\theta(\xi, \tau)$  и  $\theta(0, \tau)$ . Полагая  $\xi = 0$ , получаем из (12) еще одно уравнение, которое замыкает систему. Таким образом, исходная краевая задача (10), (11) свелась к системе их двух функциональных уравнений

$$F[\theta(\xi, \tau), \theta(0, \tau)] = 0, \quad F_1[\theta(\xi, \tau), \theta(0, \tau)] = 0 \quad (13)$$

Как и раньше, путем арифметизации сводим (13) к системе из  $(m + 1)$  нелинейных алгебраических уравнений, к которой для численного решения применяется итерационный метод Ньютона.

Ниже представлены некоторые результаты численного решения системы (13) применительно к условиям  $\theta_0 = 0$ ,  $\theta_1 = 1$ ,  $S = 10$  при различных значениях  $h$ .

На фиг. 3а, и в представлены результаты расчета в случае, когда  $h = 40$ ,  $h = 4$ . Здесь отчетливо проявляется роль оптической толщины в формировании температурного поля в условиях закрепленного параметра  $S$ , характеризующего радиационно-кондуктивное соотношение в суммарном потоке тепла.

Это находит отражение в характере температурных профилей по всему слою, включая и весьма характерные скачки температуры во времени на границе. Как видно, при увеличении  $h$  темп прогресса всего слоя существенно понижается.

Поступила 25 V 1970

#### ЛИТЕРАТУРА

1. L i c k W. Transient energy transfer by radiation and conduction. Internat. J. Heat and Mass Trans., 1965, vol. 8, No. 1.
2. Х р о м о в А. В., Л и б и н Ю. В. Плотность источников тепла и температурное поле в кристалле рубинового ОКГ. Инж.- физ. ж., 1966, т. 11, № 4.
3. F o w l e A. A., S t r o n g P. F., C o m s t o c k D. F., S o x C. Computer program to predict heat transfer through glass. AIAA Journal, 1969, vol. 7, No. 3.
4. Р у б ц о в Н. А. К переносу теплового излучения в плоском слое поглощающей среды. ПМТФ, 1965, № 5.
5. К а н т о р о в и ч Л. В. О методе Ньютона. Тр. матем. ин-та АН СССР, 1949, т. 28.

#### ИССЛЕДОВАНИЕ ВЯЗКОСТИ ЦЕЗИЯ, НАТРИЯ И КАЛИЯ ВБЛИЗИ ТЕМПЕРАТУРЫ ЗАТВЕРДЕВАНИЯ

В. Н. Генрих, А. Б. Каплун

(Новосибирск)

При помощи вибрационного вискозиметра исследована вязкость чистого и технического цезия до  $200^\circ \text{C}$  и влияние кислорода на вязкость цезия. Растворенный кислород значительно увеличивает вязкость расплава, и вблизи температуры затвердевания вызывает резкое уменьшение амплитуды колебаний погруженной в расплав пластины за счет выпадения окислов на ее поверхность. Исследована вязкость натрия от  $400^\circ \text{C}$  до затвердевания и калия от  $250^\circ \text{C}$  до затвердевания. В исследуемых металлах, очищенных от газовых примесей вакуумной дистилляцией, аномалий температурного хода вязкости не обнаружено.

Наличие аномалий температурного хода и гистерезисов вязкости вблизи температуры затвердевания может свидетельствовать о структурных перестройках в жидкости и о так называемых явлениях «предкристаллизации» и «послеплавления».